

Министерство высшего и среднего специального образования  
Р С Ф С Р

Ордена Трудового Красного Знамени  
Научно-исследовательский радиофизический институт (НИРФИ)

Препринт № 98

**ОБ ОСОБЕННОСТЯХ РАСПРОСТРАНЕНИЯ ИМПУЛЬСОВ  
В ОДНОЙ ИЗ МОДЕЛЕЙ ВОЗБУДИМОЙ СРЕДЫ**

**Яхно В.Г.**

**Горький - 1978 г.**

## **А нн о т а ц и я**

Рассмотрено формирование импульсов в возбудимой среде в случаях, когда  $Q = Q(V)$  — скорость фронта возбуждения от величины медленной переменной  $V$  представляет собой немонотонную зависимость. Показана возможность существования нескольких устойчивых стационарных импульсов возбуждения. Выяснены условия при которых спад импульса возбуждения распространяющегося в однородной среде может останавливаться.

Для правильной интерпретации процессов в возбудимых средах, желательно, как правило, иметь представление о возможных решениях математической модели, соответствующей исследуемой среде. Однако исследование моделей возбудимых сред встречается с серьезными математическими трудностями и поэтому в настоящее время полностью не приведено.

В работе с помощью приближенного аналитического подхода проводится исследование некоторых новых особенностей связанных с распространением импульсного возмущения. Выбранная модель возбудимой среды допускает существование нескольких устойчивых стационарных импульсов. Показано, что при некоторых начальных условиях один из фронтов возбуждения в импульсе может останавливаться. Рассмотрение таких процессов может оказаться полезным для понимания аномальных задержек импульса, а также условий возникновения нестационарных движений (типа ведущего центра [1, 3]) в возбудимой среде.

Поведение системы будем описывать следующей системой уравнений [1 + 3].

$$\varepsilon \frac{\partial u}{\partial t} = \frac{\partial^2 u}{\partial x^2} + f(u, v); \quad \frac{\partial v}{\partial t} = \psi(u, v) \quad (1)$$

где  $\varepsilon \ll 1, 0$   $\Psi(u, v)$   $f(u, v)$  – заданные нелинейные функции (см. например, в [1 + 3]). Дополнительное требование для функции  $f(u, v)$  будет изложе-

но в пункте 2.

Метод исследования системы (1), связанный с разделением на быстрые волновые движения и последующую медленную релаксацию был изложен в [2], где рассматривалось формирование стационарного импульса. Напомним, что одной из основных характеристик такой системы является функция  $\alpha = \alpha(V)$  — скорость быстрого фронта возбуждения, зависящая от величины медленной переменной  $V$ .

Целью настоящей работы является выяснение особенностей распространения импульсов возбуждения в средах с немонотонной зависимостью  $\alpha = \alpha(V)$  (см. рис. 1) (формирование импульса при монотонной зависимости  $\alpha(V)$  рассмотрено в [2]).

2. Сначала ссудим вид нелинейной функции  $f(u, V)$  в случаях, когда может быть получена немонотонная зависимость  $\alpha(V)$ . При этом удобнее всего воспользоваться аналитическими формулами из работы [4], которые получены для нелинейной функции в виде полинома пятой степени

$$f(u, V) = f(u) [u - m_1(V)] [u - m_2(V)] [u - m_3(V)] \cdot \\ [1 + \alpha(g) u + \beta(g) u^2] \quad (2)$$

$$\text{где } \alpha = \frac{3g^2}{2+g(V)(2m_1+2m_3-3m_2)}; \quad \beta = -g - \frac{\alpha}{g};$$

$f(V)$  и  $g(V)$  заданные функции  $V$ . Зависимости  $m_1(V)$ ,  $m_3(V)$  и  $m_2(V)$  представляют собой функции соответствующие устойчивым и неустойчивой ветвям  $N$  — образной характеристики на фазовой плоскости  $(u, V)$ . Некоторые варианты зависимости скорости от  $V$  показаны на рис. 1 а, б.

Обратим внимание, что представление  $f(u, V)$  в виде (2) удобно при построении феноменологической модели из экспериментальных данных. В частности, тогда  $m_1(V)$  и

$m_3(V)$  могут быть определены из экспериментов на сосредоточенной модели, а экспериментальной зависимости скорости  $\alpha(V)$  можно удовлетворить, подбирая функции  $m_2(V)$  и  $g(V)$ .

3. Перейдем к рассмотрению динамики нестационарных процессов. Сначала рассмотрим случай, когда  $\alpha(V)$  обращается в нуль лишь в одной точке  $V = V_{kp}$  (см. рис. 1а). Будем считать, что система полубесконечна ( $0 < X < \infty$ ), а возбуждение импульсов производится внешним источником в точке  $X = 0$ . Положим, также, что истинное состояние равновесия  $U_p, V_p$  расположено на левой, устойчивой ветви  $N$ -образной характеристики (рис. 1а). Через  $\alpha_1$  и

$\alpha_2$  обозначим максимальное и минимальное значения скоростей в области нарушения монотонности  $\alpha = \alpha(V)$  (рис. 1а). При этом значения медленной переменной  $V_1$  и

$V_2$  будут соответствовать скоростям  $-\alpha_1 = \alpha(V_1)$  и  $-\alpha_2 = \alpha(V_2)$ . Тогда при  $V_p > V_2$  или  $V_p < V_2$  процесс формирования импульса качественно будет протекать так же как и при монотонной зависимости  $\alpha = \alpha(V)$  [2].

Отличие будет проявляться лишь в немонотонности изменения скорости спада в процессе формирования стационарного импульса.

Более разнообразным будет поведение системы при

$V_1 < V_p < V_2$ . При этом оказывается возможным существование нескольких стационарных импульсов возбуждения в системе. Эти импульсы могут распространяться вдоль системы с одинаковой скоростью  $\alpha_p = \alpha(V_p)$ , однако имеют различную длительность (рис. 2). В первом стационарном импульсе медленная переменная изменяется от  $V_p$  до  $V_{1p}$ , во втором — от  $V_p$  до  $V_{2p}$ , в третьем — от  $V_p$  до  $V_{3p}$  (см. рис. 1 и рис. 2). С помощью зависимости  $\alpha = \alpha(V)$  нетрудно проверить устойчивость этих импульсов. Два стационарных импульса (с длиной  $l_1$  и  $l_3$ ) устойчивы к изменениям их длительности, а импульс с известной промежуточной длиной  $l_2$  оказывается неустойчивым образованием и поэтому в реальной системе наблюдаться не может. Этот импульс представляет собой некоторую границу для начальных условий, которая разделяет начальные возмущения, приводящие к формированию разных стационарных импульсов: если начальное возмущение по  $U$  имеет длительность  $T_H = \frac{l_H}{\alpha_p(V_p)}$  меньше чем  $T_2 = \frac{l_2}{\alpha_p(V_p)}$ , то формируется короткий стационарный импульс, если  $T_H > T_2$ , то

формируется более длинный импульс. Формулы для длительности стационарного импульса и длины формирования импульсов записываются в виде следующих выражений:

$$t(V_p, V_*) = \int_{V_p}^{V_*} \frac{dV}{\Psi(V, m_3(V))} \quad (8)$$

$$l_{\text{форм}} = \int_{V_H}^{V + 0,1(V_H - V)} \frac{dV}{\Psi(V, m_3(V)) \left[ \frac{1}{a(V)} - \frac{1}{a(V_p)} \right]} \quad (4)$$

Обратим внимание на существование простого гистерезисного явления при распространении стационарного импульса вдоль плавно неоднородной среды<sup>+</sup>). Пусть, например,  $V_3 < V_p(x) < V_4$ , где  $V_3 < V_1$ , а  $V_4 > V_2$ . Тогда в пространстве (см. рис. 3) имеется участок  $X_1 < X < X_2$ , где распространение стационарного импульса может проходить в двух формах (либо длинный, либо короткий импульс), а вне этого отрезка стационарный импульс может быть только одной длительности. При этом в зависимости от направления распространения импульса переход от одной стационарной формы импульса к другой будет происходить в разных точках системы. Длина отрезка  $l_{\text{форм}}$  где происходит формирование нового стационарного импульса из предыдущего может быть оценена с помощью формулы (4). При распространении вправо (см. рис. 3) переход к более длинному импульсу произойдет за точку  $X_2$ , а импульс двинувшийся влево сожмется к более короткой форме лишь после прохождения точки  $X_1$ .

4. Теперь кратко опишем еще более сложную ситуацию. Предположим, что  $a(V)$  обращается в нуль при

<sup>+</sup>) Плавной будем называть такую неоднородность, характерный размер которой много больше длины фронта возбуждения. При этом для определения скорости фронта можно пользоваться зависимостью  $a = a(V)$ .

трех значениях  $V_{kp}$  ( $i = 1, 2, 3$ ) (рис. 1 б). В этом случае в процессе формирования импульса могут образоваться остановившиеся фронты возбуждения.

Подробное изучение системы с неподвижными фронтами возможно, по-видимому, лишь численными методами, поэтому здесь мы в основном ограничимся рассмотрением только некоторых характерных ситуаций, приводящих к остановке фронта возбуждения внутри системы. Разберем следующие случаи:

а)  $V_p < V_1$  (см. рис. 1 б). В такой системе может сформироваться только один стационарный импульс. Однако возбуждение убегающего от границы возмущения может быть произведено двумя способами, причем для этого необходимо, чтобы выполнялось одно из условий:

$$t_{\text{нач}} > t(V_p, V_{kp3}) \quad \text{или} \quad t(V_p, V_{kp1}) < t_{\text{нач}} < t(V_p, V_{kp2})$$

(см. формулу 3).

Если начальная длительность импульса  $t_{\text{нач}}$  не удовлетворяет этим неравенствам, то спад такого импульса не будет распространяться вслед за фронтом и ограниченное в пространстве возмущение не сможет отойти от границы  $X = 0$ . Формирование импульса при  $t_{\text{нач}} > t(V_p, V_{kp3})$  происходит обычным образом (см. [2]). Если же выполнено второе условие, то скорость движения спада все время будет меньше скорости фронта импульса. Величина  $V$  перед спадом будет постепенно увеличиваться, причем происходит это будет до тех пор, пока в месте нахождения спада  $V$  не достигнет значения  $V_{kp2}$ , после чего спад останавливается. Расстояние от края системы до места остановки фронта определяется из формулы

$$l_0 = \int_{V_N}^{V_{kp2}} \frac{\alpha(V_p) \alpha(V) dV}{\psi(V, m_3(V)) [\alpha(V_p) - \alpha(V)]} \quad (5)$$

б)  $V_1 < V_p < V_{kp1}$ . В такой системе возможно существование двух устойчивых стационарных импульсов. Короткий импульс возникает, если начальная длительность возмущения удовлетворяет неравенствам

$t(V_p, V_{kp_1}) < t < t(V_p, V_1^*)$  (см. рис. 1 б). Длинный импульс возбуждается при условии  $t(V_p, V_{kp_3}) < t_{\text{наг}}$ . Если же  $t(V_p, V^*) < t_{\text{наг}} < t(V_p, V_{kp_3})$ , то спад импульса будет двигаться замедляясь и через некоторое время остановится. Место остановки определяется из формулы (5).

в)  $V_{kp_1} < V_p < V_{kp_2}$  Распространяющийся импульс в системе возбужден быть не может.

б)  $V_{kp_2} < V_p < V_{kp_3}$  Возможно существование одного стационарного импульса, скорость распространения которого равна  $\alpha(V_p)$ , а длительность  $T = t(V_p, V)$ .

д)  $V_p > V_{kp_3}$  Распространение импульсов невозможно.

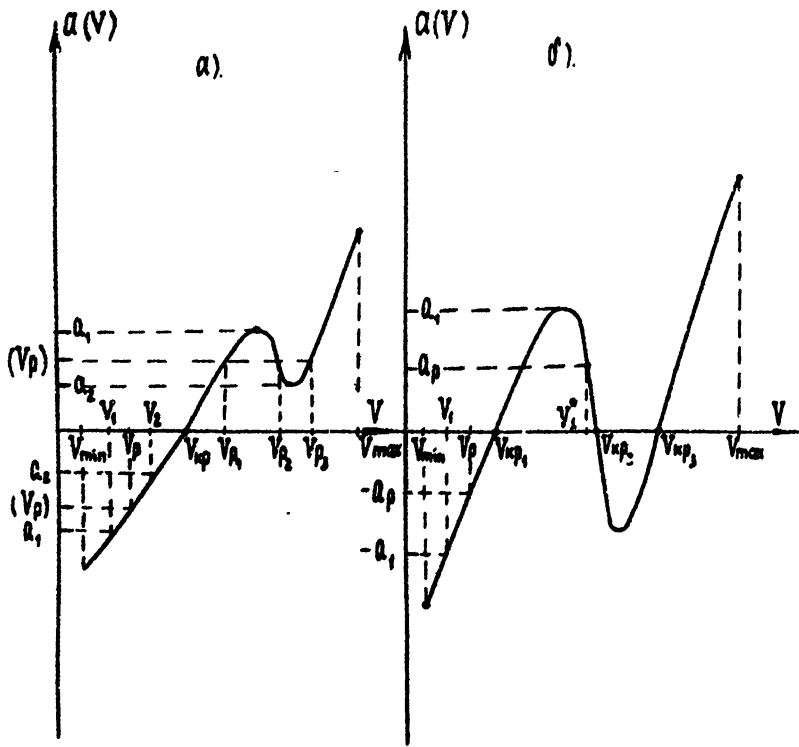
5. В заключение отметим, что на реальных возбудимых объектах, таких, например, как автоколебательные химические реакции, волокна сердечных мышц и т.п. не - посредственное измерение нелинейных характеристик встречается со значительными трудностями, поэтому о них судят по отклику системы на внешнее возмущение. При этом часто, когда отклик становится сложным, поведение системы пытаются объяснить с помощью усложнения исходной модели, в частности, увеличивая число переменных. В связи с этим хотелось показать возможность более подробного изучения простых моделей среды и выявление на них новых типов поведения. Здесь удалось показать существование некоторых нетривиальных режимов, используя для этого такую качественную характеристику системы (1), как зависимость  $\alpha = \alpha(V)$ .

К сожалению, сейчас весьма затруднительно предположить в какой конкретной среде могут проявить себя описанные здесь процессы. Вызвано это тем, что детальный вид нелинейной функции  $f(U, V)$  не определен даже для известных моделей, а исследование отклика системы на специально заданное внешнее воздействие также пока не проводилось. Однако имеются некоторые косвенные данные, подтверждающие возможность существования интересующих нас характеристик среды. Так в определенных автоколебательных химических реакциях

была обнаружена немонотонная зависимость скорости волн от начальной концентрации исходных веществ [5]. Если бы при этом удалось показать, что состояние равновесия с изменением концентрации соответствующих веществ меняется монотонно, то эти изменения явились бы прямым подтверждением немонотонности  $\eta = \eta(V)$ .

### Л И Т Е Р А Т У Р А

1. А.М.Жаботинский. Радиофизика, т. 17, вып. 4, 596, 1974.
2. Л.А.Островский, В.Г.Яхно. Биофизика. т. 20, вып. 3, 489, 1975.
3. Ю.К.Гольцова, Г.М.Жислин, В.Г.Яхно. Биофизика (в печати).
4. В.Г.Яхно. Биофизика. т. 21, вып. 3. 1976.
5. О.В.Куйбышева. Дипломная работа 1973 МГУ.



РУС. 1.

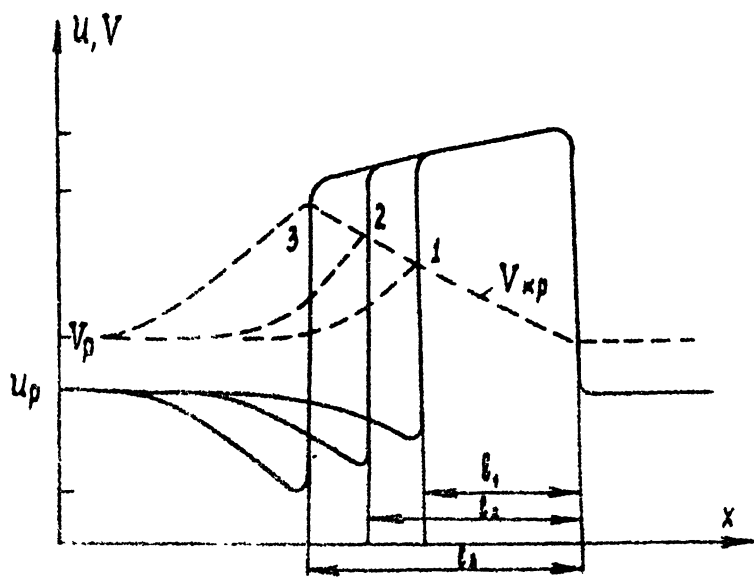


Рис. 2.

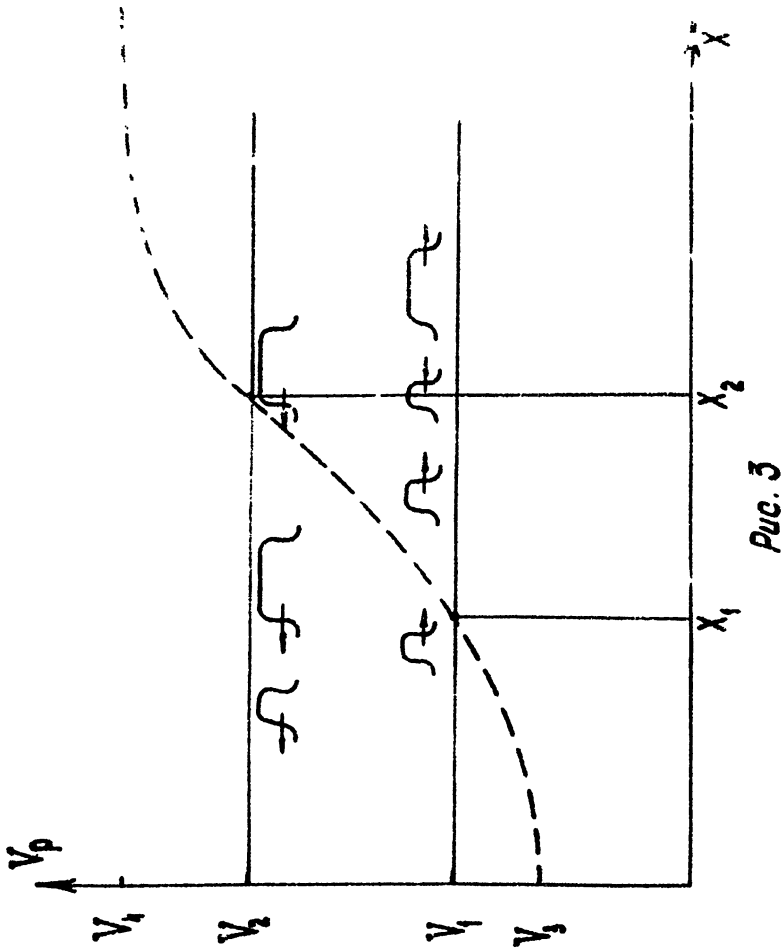


Рис. 3

## ПОДПИСИ К РИСУНКАМ

- Рис. 1. Различные варианты немонотонной зависимости скорости фронта от величины  $V$
- Рис. 2. Стационарные импульсы системы (1), в случае  $V_1 < V_p < V_2$ . 1 и 3 - устойчивые к возмущениям импульсы, 2 - неустойчивый импульс
- Рис. 3. Гистерезисное явление при трансформации стационарного импульса из одной формы в другую. На участке  $X_1 < X < X_2$  могут распространяться оба устойчивых стационарных импульса. В зависимости от направления распространения импульса, переход от короткого импульса к длинному и обратно будет происходить в разных точках пространства.